

Journal of Organometallic Chemistry, 232 (1982) 229–232
 Elsevier Sequoia S.A., Lausanne — Printed in The Netherlands

PHOSPHIN-STABILISIERTE CARBONYLNITROSYLVANADIUM-VERBINDUNGEN: DIE KRISTALLSTRUKTUR VON $\text{V}(\text{CO})_3(\text{NO})(\text{PMe}_3)_2$

JAN SCHIEMANN und ERWIN WEISS *

Institut für Anorganische und Angewandte Chemie der Universität Hamburg, Martin-Luther-King-Platz 6, D-2000 Hamburg 13 (B.R.D.)

(Eingegangen den 21. Januar 1982)

Summary

The crystal structure of $\text{V}(\text{CO})_3(\text{NO})(\text{PMe}_3)_2$ has been determined from X-ray data collected at 170 K (space group $P2_1/n$, $Z = 4$, $R = 0.063$). The molecule has a pseudo-octahedral structure with CO groups in *meridional* and phosphine ligands in *cis* positions.

Zusammenfassung

Die Kristallstruktur von $\text{V}(\text{CO})_3(\text{NO})(\text{PMe}_3)_2$ wurde aus bei 170 K gesammelten Röntgendiffraktionsdaten bestimmt (Raumgruppe $P2_1/n$, $Z = 4$, $R = 0.063$). Das Molekül besitzt pseudooktaedrische Struktur mit CO-Gruppen in *meridionalen* und Phosphin-Liganden in *cis*-ständigen Positionen.

In einer vorhergehenden Veröffentlichung [1] beschrieben wir die Darstellung verschiedener Carbonylnitrosylvanadium-Verbindungen des Typs $\text{V}(\text{CO})_{5-n}(\text{NO})\text{L}_n$ (L = Mono- und Diphosphine, Diarsine, Phosphite). Für einen ersten Vertreter dieser Reihe wurde die Struktur des $\text{V}(\text{CO})_3(\text{NO})(\text{PMe}_3)_2$ röntgenographisch bestimmt.

Kristalldaten und Strukturbestimmung

$\text{C}_9\text{H}_{18}\text{O}_4\text{NP}_2\text{V}$. $a = 960.6(8)$, $b = 1192.9(11)$, $c = 1377.5(11)$ pm, $\beta = 95.48(6)^\circ$, $V = 1571.5 \times 10^6$ pm 3 , monokline Raumgruppe $P2_1/n$, $Z = 4$, ρ (röhrt.) 1.30 g cm $^{-3}$, $\mu(\text{Mo}-\text{K}\alpha) = 8.7$ cm $^{-1}$.

Ein Kristall ($0.2 \times 0.4 \times 0.05$ mm, aus Hexan-Lösung) wurde bei 170 K bis $\Theta = 20^\circ$ vermessen und ergab 1148 symmetrieeunabhängige und signifikante ($F \geq 3\sigma$) Reflexe. Die Struktur wurde mittels Direkt-Methoden (MULTAN [2]) gelöst und anisotrop (ausser H-Atome) bis $R = 0.063$ (ungew.) verfeinert (SHEL-X [3]).

TABELLE 1. ATOMPARAMETER UND TEMPERATURFAKTOREN FÜR V(CO)₃(NO)(PMe₃)₂

Atom	<i>x/a</i>	<i>y/b</i>	<i>z/c</i>	<i>U</i> ₁₁ (<i>U</i>)	<i>U</i> ₂₂	<i>U</i> ₃₃	<i>U</i> ₂₃	<i>U</i> ₁₃	<i>U</i> ₁₂
V	0.0749(2)	0.3145(2)	0.7259(1)	0.028(1)	0.034(1)	0.026(9)	-0.004(1)	-0.004(1)	0.000(1)
P(1)	0.2083(3)	0.2360(2)	0.5920(2)	0.029(2)	0.032(2)	0.031(2)	-0.009(1)	-0.002(1)	0.004(1)
P(2)	-0.1631(3)	0.2563(3)	0.6559(2)	0.028(2)	0.048(2)	0.033(2)	-0.007(2)	-0.004(1)	-0.007(2)
C(1)	0.0454(11)	0.4578(11)	0.6525(8)	0.031(6)	0.050(9)	0.036(7)	-0.016(7)	-0.013(6)	0.009(6)
O(1)	0.0282(9)	0.5132(7)	0.6161(7)	0.068(6)	0.036(6)	0.071(6)	0.012(6)	-0.012(6)	0.012(5)
C(2)	0.0945(12)	0.1670(12)	0.7923(9)	0.040(7)	0.066(9)	0.039(7)	-0.002(7)	-0.007(6)	0.000(7)
O(2)	0.1030(11)	0.0885(8)	0.8360(7)	0.104(8)	0.049(6)	0.057(6)	-0.017(5)	0.008(6)	0.014(6)
C(3)	0.2534(12)	0.3591(8)	0.7795(7)	0.036(7)	0.024(6)	0.027(6)	-0.003(5)	-0.000(5)	0.003(5)
O(3)	0.3630(9)	0.3909(7)	0.8165(7)	0.042(5)	0.066(6)	0.058(6)	-0.009(5)	-0.008(4)	-0.012(5)
N	-0.0007(10)	0.3709(8)	0.8309(7)	0.045(6)	0.082(6)	0.051(7)	-0.002(5)	-0.007(5)	-0.010(6)
O(4)	-0.0435(9)	0.4063(8)	0.9044(6)	0.071(6)	0.078(7)	0.033(5)	-0.024(5)	0.026(6)	-0.014(6)
C(4)	0.2973(15)	0.3400(12)	0.5225(10)	0.070(9)	0.062(10)	0.049(8)	0.003(8)	0.022(8)	0.024(9)
C(5)	0.3565(14)	0.1482(11)	0.6406(10)	0.053(8)	0.044(8)	0.073(9)	0.015(8)	0.020(8)	0.022(7)
C(6)	0.1208(17)	0.1459(17)	0.4947(13)	0.063(10)	0.109(16)	0.085(11)	-0.070(11)	-0.002(9)	-0.009(11)
C(7)	-0.2163(20)	0.2805(40)	0.6291(14)	0.068(13)	0.480(48)	0.058(11)	0.028(23)	-0.045(10)	-0.116(22)
C(8)	-0.2170(26)	0.1211(22)	0.6802(40)	0.110(18)	0.115(23)	0.541(74)	0.149(32)	-0.140(28)	-0.068(16)
C(9)	-0.2964(18)	0.3315(38)	0.7035(25)	0.036(11)	0.427(53)	0.302(37)	-0.310(36)	0.005(14)	-0.018(19)
H(1)	0.363(11)	0.303(10)	0.468(8)	0.049(32)					
H(2)	0.345(12)	0.386(11)	0.569(9)	0.037(40)					
H(3)	0.2224(17)	0.391(15)	0.469(12)	0.114(62)					
H(4)	0.407(13)	0.202(11)	0.695(9)	0.058(43)					
H(5)	0.316(12)	0.089(10)	0.671(8)	0.036(39)					
H(6)	0.409(10)	0.137(8)	0.598(7)	0.019(29)					
H(7)	0.097(9)	0.217(7)	0.459(6)	0.035(26)					
H(8)	0.092(19)	0.071(16)	0.527(13)	0.068(75)					
H(9)	0.198(14)	0.093(13)	0.468(9)	0.076(45)					
H(10) ^a	-0.210	0.333	0.505	0.425(161)					
H(11)	-0.156	0.211	0.496	0.551(120)					
H(12)	-0.309	0.232	0.517	0.241(79)					
H(13)	-0.158	0.067	0.662	0.298(87)					
H(14)	-0.221	0.116	0.753	0.148(113)					
H(15)	-0.331	0.111	0.653	0.289(80)					
H(16)	-0.295	0.326	0.770	0.194(72)					
H(17)	-0.288	0.411	0.685	0.265(106)					
H(18)	-0.387	0.308	0.672	0.165(63)					

^a Da einer der beiden PMe₃-Liganden auch bei 170 K noch erhebliche Torsionsschwingungen bzw. Fehlordnung zeigt, war die Vereinigung ihrer H-Atomlagen nicht sinnvoll. Es wurden daher für die Atome H(10) bis H(18) berechnete Lagen verwendet und diese bei den Vereinigungsszyklen fixiert.

Die anisotropen Temperaturfaktoren haben die Form:

$$T = \exp[-2\pi^2(a^* h^2 U_{11} + b^* k^2 U_{22} + c^* l^2 U_{33} + 2a^* b^* h k U_{12} + 2a^* c^* h l U_{13} + 2b^* c^* k l U_{23})]; U_{ij} \text{ in } 10^4 \text{ pm}^2,$$

$$\text{Die isotropen Temperaturfaktoren (H-Atome) haben die Form:}$$

$$T = \exp[-8\pi^2 U(\sin^2 \Theta)/\lambda^2]; U \text{ in } 10^4 \text{ pm}^2.$$

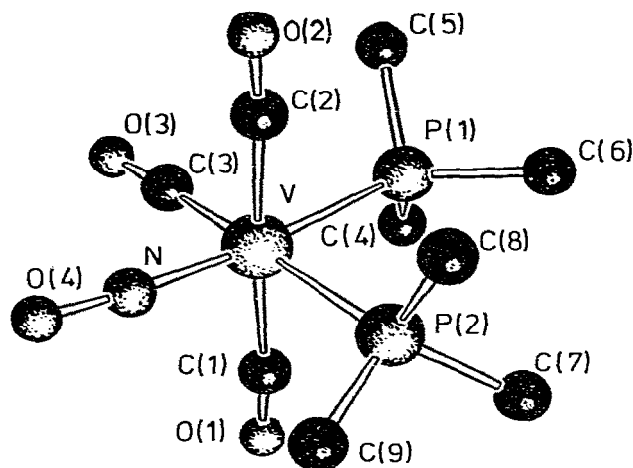


Fig. 1. SCHAKAL-Zeichnung von $\text{V}(\text{CO})_3(\text{NO})(\text{PMe}_3)_2$.

TABELLE 2
ATOMABSTÄNDE UND WINKEL FÜR $\text{V}(\text{CO})_3(\text{NO})(\text{PMe}_3)_2$

Atom	Abstand (pm)	Atome	Winkel ($^{\circ}$)	Atome	Winkel ($^{\circ}$)
V—P(1)	252.5(3)	P(1)—V—P(2)	96.9(1)	V—C(3)—O(3)	177(1)
V—P(2)	250.0(3)	P(1)—V—C(1)	90.3(3)	V—N—O(4)	176(1)
V—C(1)	199.3(14)	P(1)—V—C(2)	88.6(4)	V—P(1)—C(4)	115.2(4)
V—C(2)	198.3(14)	P(1)—V—C(3)	83.4(3)	V—P(1)—C(5)	111.8(4)
V—C(3)	187.8(11)	P(1)—V—N	173.1(3)	V—P(1)—C(6)	123.5(5)
C(1)—O(1)	114.0(13)	C(1)—V—C(2)	176.0(5)	V—P(2)—C(7)	122.3(7)
C(2)—O(2)	113.3(14)	C(1)—V—C(3)	92.1(4)	V—P(2)—C(8)	118.2(9)
C(3)—O(3)	118.7(12)	C(1)—V—N	92.2(4)	V—P(2)—C(9)	112.2(7)
V—N	180.9(10)	P(2)—V—C(1)	88.3(3)	C(4)—P(1)—C(5)	101.4(6)
N—O(4)	120.4(11)	P(2)—V—C(2)	88.1(3)	C(4)—P(1)—C(6)	101.3(8)
P(1)—C(4)	182.8(14)	P(2)—V—C(3)	179.5(3)	C(5)—P(1)—C(6)	100.4(8)
P(1)—C(5)	183.2(12)	P(2)—V—N	89.6(3)	C(7)—P(2)—C(8)	100(2)
P(1)—C(6)	182.3(13)	C(2)—V—C(3)	91.6(5)	C(7)—P(2)—C(9)	101(2)
P(2)—C(7)	177.4(17)	C(2)—V—N	89.4(4)	C(8)—P(2)—C(9)	100(2)
P(2)—C(8)	171.5(24)	C(3)—V—N	90.1(4)		
P(2)—C(9)	175.5(21)	V—C(1)—O(1)	176(1)		
C—H	98(8)	V—C(2)—O(2)	175(1)		
	(Mittelwert)				

Dabei gelang auch die Unterscheidung von NO- und CO-Gruppen. Ausgehend vom Modell $\text{V}(\text{CO})_4(\text{PMe}_3)_2$ ergaben sich nämlich für das C-Atom einer CO-Gruppe anomale anisotrope Temperaturfaktoren, welche sich normalisierten, nachdem für dieses Atom mit der N-Streukurve gerechnet wurde.

Atomparameter und Temperaturfaktoren sind in Tab. 1, Atomabstände und Winkel in Tab. 2 angegeben.

Diskussion

Das Molekül ist pseudooktaedrisch mit einer *meridionalen* Anordnung der CO-Gruppen und *cis*-ständigen Phosphin-Liganden. Die maximale Abweichung

von den idealen Oktaederwinkeln (90° bzw. 180°) beträgt 7° . Alle V—CO- und V—NO-Gruppen sind annähernd linear.

Die V—N-Bindung ist erwartungsgemäß kürzer als die V—C-Bindungen. Durch den elektronischen Einfluss der Phosphin-Gruppen erfolgt eine Verkürzung (10 bis 11 pm) der hierzu *trans*-ständigen V—C-Bindung [C(3)] im Vergleich zu den beiden *cis*-CO-Gruppen [C(1) und C(2)].

Einer der beiden Phosphin-Liganden [P(2)] zeigt auch bei 170 K starke Torsionsschwingungen bzw. Fehlordnung (vgl. Tab. 1). Daher beobachtet man eine scheinbare Verkürzung der zugehörigen P(2)—C-Abstände. Entsprechendes Verhalten zeigen auch andere Trimethylphosphin-Komplexe [4].

Dank

Der Fonds der Chemischen Industrie unterstützte diese Arbeiten durch Sachbeihilfen. Herrn Dr. E. Keller, Univ. Freiburg danken wir für die Überlassung des Plot-Programms SCHAKAL.

Literatur

- 1 J. Schiemann, E. Weiss, F. Näumann und D. Rehder, J. Organometal. Chem., 232 (1982) 219.
- 2 MULTAN 78, Programmsystem nach G. Germain, P. Main und M.M. Woolfson, Acta Cryst., A 27 (1971) 368.
- 3 SHEL-X, G. Sheldrick, Programs for Crystal Structure Determination, Cambridge 1975.
- 4 E. Keller und H. Vahrenkamp, Chem. Ber., 111 (1978) 65.